

بررسی تأثیر اندرکنش گودبرداری و سازه‌ی مجاور آن در تحلیل گودبرداری‌ها در محیط‌های شهری*

محمد ملکی^(۱)بهادر بائی^(۲)محسن بیتی^(۳)

چکیده یکی از مسائل مهم در گودبرداری در محیط‌های شهری تأثیر آن بر ساختمان مجاور است که بعضًا منجر به خسارت جانی و مالی جبران ناپذیری می‌گردد. در این خصوص، تأثیر سختی سازه ساختمان مجاور در کنترل تغییر مکان زمین ناشی از گودبرداری نیز از اهمیت ویژه‌ای برخوردار است که کمتر مورد مطالعه قرار گرفته است. در این مقاله با استفاده از نرم افزارهای اجزاء محدود SAP و PLAXIS و با به کارگیری یک مدل رفتاری ارتقایی خمیری با ساخت شوندگی برای مصالح زمین، اندرکنش گودبرداری و سازه‌ی مجاور آن، مورد مطالعه قرار گرفته است. بررسی تأثیر سختی سازه مجاور با در نظر گیری دو سیستم گودبرداری متفاوت، با دو مدل برای سازه‌ی مجاور مورد مطالعه قرار گرفت. اولین سیستم سازه مجاور یک قاب خمیری بتن آرمه است که سختی آن در مراحل مختلف گودبرداری در تحلیل لحظه می‌گردد. در دومین سیستم، سازه‌ی مجاور با یک تیر ارتقایی معادل سازی شده است. نتایج حاصله نشان دهنده تأثیر قابل ملاحظه‌ی سختی سازه مجاور در کنترل تغییر مکان زمین ناشی از گودبرداری و تأثیر گودبرداری بر نیروهای داخلی اعضاء سازه است. استفاده از روش معادل سازی سازه با یک تیر ارتقایی که متضمن سادگی و انعطاف پذیری در نظر گیری سختی‌های مختلف برای یک وزن ساختمان داده شده است، می‌تواند قابل کاربرد جهت محاسبه‌ی اندرکنش گودبرداری- سازه مجاور باشد.

واژه‌های کلیدی تحلیل عددی، گودبرداری، سازه‌ی مجاور، اندرکنش گودبرداری- سازه‌ی مجاور، نشست سطحی زمین.

Excavation-Adjacent Structure Interaction Effect on Excavation Analysis in Urban Area

M. Maleki

B. Baei

M. Beiti

Abstract Excavation in urban plans influences the adjacent buildings and sometimes creates the irreparable damages. In this regard the effect of adjacent structure stiffness on the ground movement due to excavation is important. However, there are only a few studies in this area of research. In this paper, the interaction of excavation and its adjacent structure is studied using two famous finite elements codes (PLAXIS & SAP) and an elastoplastic constitutive model. For this purpose, the two excavation systems have been considered. The adjacent structure in the first system is a concrete bending frame. In the second system, instead of a real structure, an equivalent (in stiffness) elastic beam has been used. The achieved results indicate the considerable effect of adjacent structure on the ground movement due to excavation. In addition, the remarkable influence of excavation on internal forces of different members of structure is addressed. It is shown that the application of an equivalent elastic beam, which has the characteristic of simplicity and flexibility in consideration of different stiffness for a given building weight, can be used for evaluation of the interaction of excavation and its adjacent structure.

Key Words Numerical Analysis, Excavation, Excavation and Adjacent Structure Interaction, Ground Surface Settlement.

*تاریخ تصویب مقاله ۸۸/۹/۸ و تاریخ دریافت نسخه‌ی نهایی اصلاح شده ۸۹/۶/۲۹

(۱) نویسنده‌ی مسئول، استادیار، گروه عمران، دانشکده‌ی مهندسی، دانشگاه بوعلی سینا

(۲) کارشناسی ارشد، گرایش مکانیک خاک و پی، گروه عمران، دانشکده‌ی فنی، دانشگاه بوعلی سینا

(۳) کارشناسی ارشد، گرایش مکانیک خاک و پی، گروه عمران، دانشکده‌ی فنی، دانشگاه بوعلی سینا

محلى در تايپه (مرکز تايوان) برای توزيع نشت های محدب و قاشقی، منحنی هایي پيشنهاد كردن. بوسكاردين (Boscardin) [4]، با مدل كردن سازه به صورت يك تير عميق، جواب سازه را نسبت به حفاری تونل بررسی كردن. آنها براساس مشخصات تغيير شكل تير عميق چون کرنش افقی، و تغييرات شب در طول تير معيارهای کيفی را برای برآورد ميزان آسيب ديدگی ساختمان ناشی از حفر تونل ارائه كردن. و بالاخره به عنوان آخرین اشاره به کارهای انجام شده در ادبیات، میتوان به کارهای فینو (Finno) و همکاران [5] اشاره كرد که به تأثیر گودبرداری بر سازهای مجاور در پروژه بازسازی زیرگذرها در ايالت شيكاغو مربوط می شود.

تأثیر وزن ساختمان مجاور در محاسبات کلاسيک و اجزاء محدود، به عنوان پدیدهای کاملاً مشخص در ادبیات مهندسی وارد شده و اصولاً با اضافه شدن وزن ميزان تغيير مكانها افزایش و ضريب اطمینان پايداري کاهش می يابد. هندسه‌ی سازه از نظر ابعاد در پلان و فاصله‌ی آن از دیواره گودبرداری می‌تواند نقشی مهمی در ميزان تغيير مكانهای محيط بازی كند. اصولاً يك تحليل سه بعدی می‌تواند تأثیر هندسه را به خوبی اعمال کند. تأثیر سختی سازه مجاور، كمتر مورد مطالعه واقع گردیده است و در محاسبات کلاسيک و اجزاء محدود، غالباً وزن ساختمان به صورت يك سربار معادل در سطحی انعطاف پذير، اعمال می‌شود. به نظر می‌رسد، از يك طرف سختی سازه مجاور نقش قابل توجهی در كنترل تغيير مكان در دیواره گود و سطح زمين داشته باشد و از طرف ديگر گودبرداری باعث تغيير در نیروهای داخلی اعضاء سازه گردد؛ لذا در مطالعه حاضر به بررسی اين موضوع پرداخته شده است. بدین منظور، يك مجموعه تحليل اجزاء محدود دو بعدی (كرنش مسطح) انجام گرفت. مدل رفتاري برای خاک از نوع ارجاعی- خميری با سخت شوندگی غير خطی همسان و برای سازه ارجاعی خطی لحاظ شده است. دو سистем گودبرداری با هندسه، مصالح و سازه نگهبان مختلف در

مقدمه

ايجاد گودبرداری با اعماق مختلف جهت احداث ساختمانهای بلند و بناهای مهم، امری اجتناب ناپذير است. اين موضوع در مناطق شهری و به خصوص در مراکز آنها با عنایت به وجود ساختمانها و تأسیسات در اطراف محل گودبرداری از اهمیت زیادی برخوردار است. عدم دقت در طرح و محاسبه و اجرای گودبرداری‌ها در این مناطق، ممکن است منجر به خسارات جانی و مالی جيران ناپذيري گردد. كاربرد نرم افزارهای اجزاء محدود، علیرغم امکانات و تسهیلات فوق العاده ای که در تحليل گودبرداری‌ها در اختیار گذاشته است، بدون شناخت از ویژگی‌ها و عوامل مؤثر در رفتار سیستم گودبرداری، ممکن است نتایج گمراه کننده و نامناسبی را ارائه دهد. يکی از این عوامل، نحوه مدل کردن سازه‌های مجاور محل گودبرداری است که بستگی به وزن، هندسه و سختی سازه‌ی مجاور دارد. مطالعات نسبتاً زيادي از طرف محققین در اين زمينه، چه به صورت تجربی و چه به صورت عددی، انجام گرفته است. كلاف (Clough) و همکاران [1]، با انجام يك مجموعه مطالعات تجربی، شامل برداشت‌های مختلف تخمینی از حفاری‌های انجام شده در خاک‌های مختلف تخمینی از پروفیل نشست سطح زمين ناشی از گودبرداری برای خاک‌های رسی و ماسه‌ی ارائه دادند. سئوك (Seok) و همکاران [2]، با ايجاد يك مدل آزمایشي، نشت ساختمان مجاور ناشی از گودبرداری مهاريندي شده را مطالعه کردن. آنها نتيجه گرفتند که اگر ساختمان مجاور گود در عمقی از سطح زمين باشد، ميزان حرکت زمين بستگی به مقدار اين عمق خواهد داشت. در واقع، وقتی عمق مدفون شدگی ساختمان زياد باشد، نشت زمين زير ساختمان کاهش خواهد یافت؛ به طوري که اگر اين عمق در حدود بيش از نصف ارتفاع گودبرداری باشد، اين نشت، ناچيز خواهد شد.

او (Ou) و همکاران [3] براساس ۱۰ مطالعه‌ی

معرفی مدل هندسی برای گودبرداری با سازه مجاور واقعی

یک سیستم دو بعدی با عرض گود ۱۸ متر در محیطی ماسه‌ای با سازه نگهبان از نوع سپر بتنی طرهای به ضخامت ۵۰ سانتی متر مطابق شکل (۱) در نظر گرفته شده است. این سیستم، متأثر از یک ساختمان چهار طبقه اسکلت بتنی با قاب خمی در مجاورت گود قرار دارد. هندسه قاب خمی مورد نظر در شکل (۲) نشان داده شده است. با این ساختمان توسط یک مجموعه شالوده نواری در امتداد گودبرداری (عمود بر صفحه) به عرض ۱۵۰ سانتی متر و ضخامت ۷۰ سانتی متر به زمین منتقل می‌شود. این شالوده‌ها توسط کلافهایی به هم متصل Plaxis گردیده‌اند. با توجه به آن‌که کد اجزاء محدود استفاده شده، دو بعدی و محاسبات از نوع کرنش مسطح است، لذا کلافهایی که در سیستم دال با سختی معادل روی شالوده‌های نواری به ضخامت ۲۵ سانتی متر تبدیل شده‌اند. در امتداد عمود بر صفحه، فاصله‌ی قاب‌ها ۵/۵ متر در نظر گرفته شده که برای تحلیل کرنش مسطح جهت انتقال نتایج به کد Plaxis، بارگذاری حاصل از سازه در پای ستون‌ها که شامل بارهای محوری و برشی است، بر این عدد تقسیم می‌شوند.

نظر گرفته شد. در سیستم اول سازه مجاور، عبارت از یک قاب خمی بتن آرمه با هندسه و بارگذاری واقعی است؛ در صورتی که در سیستم دوم، سازه‌ی مجاور با یک تیر عمیق، معادل شده است. با توجه به آن‌که نرم افزارهای قدرتمند موجود در مهندسی ژئوتکنیک امکان مدل کردن سازه با جزئیات آن را ندارند، لذا برای سیستم SAP و PLAXIS اول از دو نرم افزار اجزاء محدود استفاده شد. برای سیستم دوم با توجه به معادل سازی صورت گرفته برای سازه، صرفاً از نرم افزار PLAXIS استفاده گردیده است. پارامترهای مدل رفتاری خاک با استفاده از نتایج آزمایش‌های موجود برای دو نوع ماسه تعیین شدند. این مقاله شامل بخش‌های زیر است:

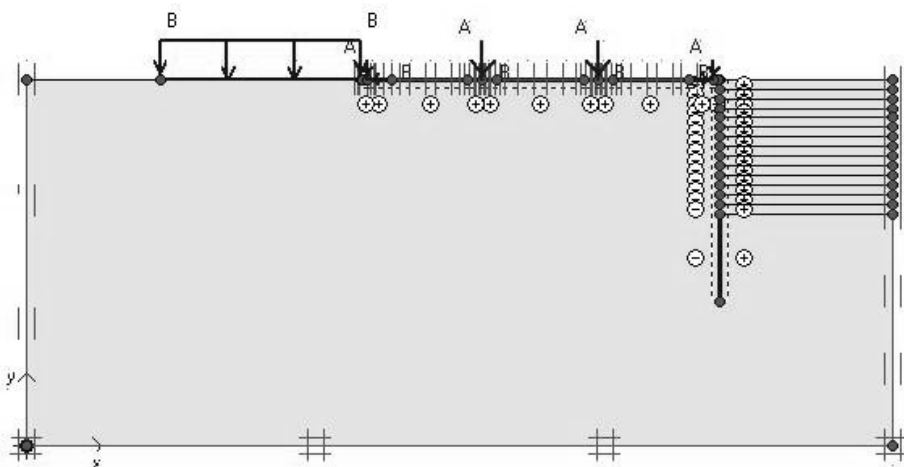
الف- معرفی مدل هندسی سیستم گودبرداری با سازه‌ی مجاور واقعی،

ب- تعیین پارامترهای مدل‌های رفتاری،

پ- تحلیل و ارائه نتایج برای گودبرداری با سازه مجاور واقعی،

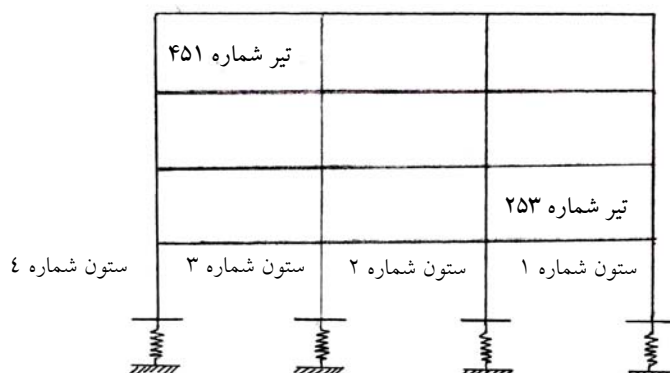
ت- تحلیل و ارائه‌ی نتایج سیستم گودبرداری با در نظر گیری سازه مجاور به صورت تیر عمیق،

ث- نتیجه گیری.



شکل ۱ مدل هندسی سیستم گودبرداری با در نظر گیری سازه‌ی مجاور به صورت واقعی

تیر شماره ۵۵۳

شکل ۲ هندسه قاب خمی که در آن مقطع ستونها $30\text{cm} \times 40\text{cm}$ و مقطع تیرها $40\text{cm} \times 40\text{cm}$ در نظر گرفته شده است

کیلو پاسکال) را نشان می‌دهد و شکل (۵) نشان دهنده تغییرات کرنش حجمی بر حسب کرنش محوری متناسب با منحنی‌های شکل (۴) می‌باشد. مقادیر پارامترهای حاصله در جدول (۱) داده شده‌اند. برای سیستم سپر و پی مدل رفتاری از نوع ارتیجاعی خطی همسان در نظر گرفته شد که مقادیر پارامترها عبارتند از:

$$E_c = 25000 \text{ MPa} \quad v = 0.15$$

تحلیل و ارائه نتایج برای گودبرداری با سازه مجاور واقعی

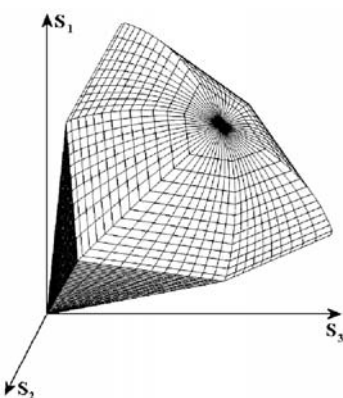
با عنایت به آن که در کد PLAXIS امکان تحلیل مجموعه‌ی گودبرداری و قاب خمی محدود نیست، لذا کد SAP به عنوان برنامه‌ی کمکی مورد استفاده قرار گرفت. مرحله تحلیل بدین ترتیب است که ابتدا سازه با استفاده از برنامه‌ی SAP تحت بارگذاری سرویس، تحلیل می‌گردد و مقدار بار هر یک از ستون‌ها روی شالوده قرائت می‌گردد. مقادیر بارهای فوق به مدل اجزاء محدود PLAXIS اعمال می‌شود. عملیات گودبرداری با برداشت لایه‌های ۵۰ سانتی‌متری خاک در تحلیل اجزاء محدود، مدل شده است. برای برداشت هر لایه‌ی ۵۰ سانتی‌متری یک بار تحلیل صورت می‌گیرد. ناشی از این تحلیل تغییر مکان‌هایی در زیر نقاط بارگذاری حاصل می‌شود. با اعمال این تغییر مکان‌ها به سازه و تحلیل با برنامه

تعیین پارامترهای مدل‌های رفتاری

مدل رفتاری برای محیط زمین که از جنس ماسه و به صورت همگن در نظر گرفته شده است، از نوع ارتیجاعی خمیری غیرخطی با سخت شوندگی همسان است. این مدل از مجموعه مدل‌های موجود در نرم افزار PLAXIS است که در واقع توسعه مدل مور کلمب در دو جهت می‌باشد: اول، ایجاد یک سطح کلاهکی برای مدل کردن رفتار خمیری خاک‌ها در بارگذاری‌های همسان و نزدیک به آن و دوم در نظر گیری رفتار غیرخطی ارتیجاعی خمیری قبل از خرابی، با اعمال یک مکانیزم سخت شوندگی همسان [6]. در شکل (۳) شماتی از سطوح تسخیم مدل در فضای تنش‌های اصلی نشان داده شده است. در این تحقیق، نتایج آزمایش‌های سه محوری زهکشی شده مربوط به دو نوع ماسه‌ی متراکم مورد استفاده قرار گرفت [7]. با استفاده از این نتایج، با انجام سعی و خطا برای حصول بهترین انطباق بین منحنی‌های آزمایشگاهی و شبیه سازی مقادیر پارامترهای مدل، تعیین گردیدند. نمونه‌ای از نتایج شبیه سازی آزمایش‌ها در شکل (۴) و (۵) نشان داده شده که در این تحقیق به عنوان خاک شماره‌ی ۱ معرفی شده است. شبیه سازی نتایج آزمایش‌ها برای خاک ۲ در [۸] آمده است. شکل (۴) منحنی‌های تنش انحرافی بر حسب کرنش محوری در تنش‌های محصور کننده مختلف (۳۰۰، ۵۰۰ و ۱۰۰۰

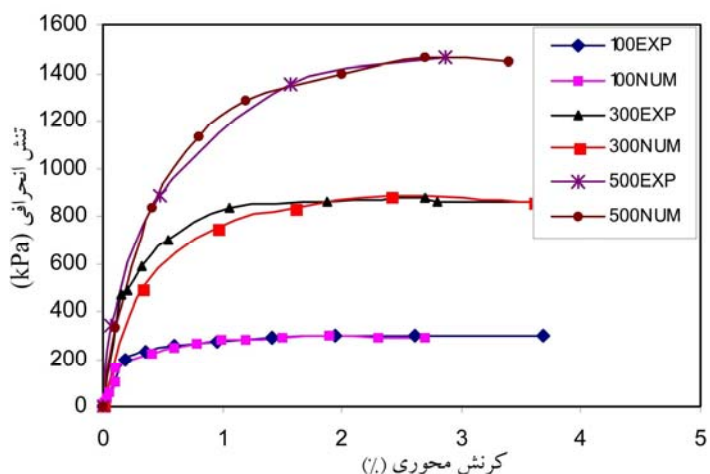
گودبرداری در شکل (۶) نشان داده شده است. همان‌گونه که مشاهده می‌شود، با افزایش عمق گودبرداری تأثیر سختی هم بیشتر می‌گردد و میزان تغییر مکان کاوش می‌یابد.

مطابق شکل (۷) برای خاک شماره ۲ هم نتیجه مشابه حاصل شده، با این تفاوت که به علت بیشتر بودن پارامتر m که بیان کننده شدت تغییرات سختی خاک به وضعیت تنش است، عمق خاک برداری بیشتر به دست آمده است. در ارتباط با قسمت دوم، می‌توان گفت به همان اندازه که سختی ساختمان مجاور اثر مثبتی در کاوش میزان تغییر مکان‌های ناشی از گودبرداری دارد، خود سازه هم در حین و بعد از عملیات حفاری تحت تأثیر گودبرداری است. ایجاد تغییر مکان‌های نامتقارن زیر شالوده سازه مجاور، باعث تغییر در نیروهای داخلی اعضاء می‌گردد. به عنوان نمونه، تغییر در لنگر خمی و نیروی برشی در تیر طبقه اول نزدیک به گود تیر شماره ۲۵۳ در شکل (۲)، باستگی به ارتفاع گودبرداری، در اشکال (۸) و (۹) نشان داده شده است. همان‌گونه که دیده می‌شود، برای عمق ۵ متر، مقدار لنگر منفی در این تیر از مقدار $207/59$ به مقدار $299/24$ کیلو نیوتن متر می‌رسد؛ یعنی افزایشی معادل $44/15$ درصد که ممکن است باعث لطمات جزئی یا خرابی عضو گردد. همچنین نیروی برشی در این تیر مطابق شکل (۹) از مقدار $204/82$ به مقدار 235 کیلو نیوتن می‌رسد که افزایشی معادل $14/73$ درصد را نشان می‌دهد.

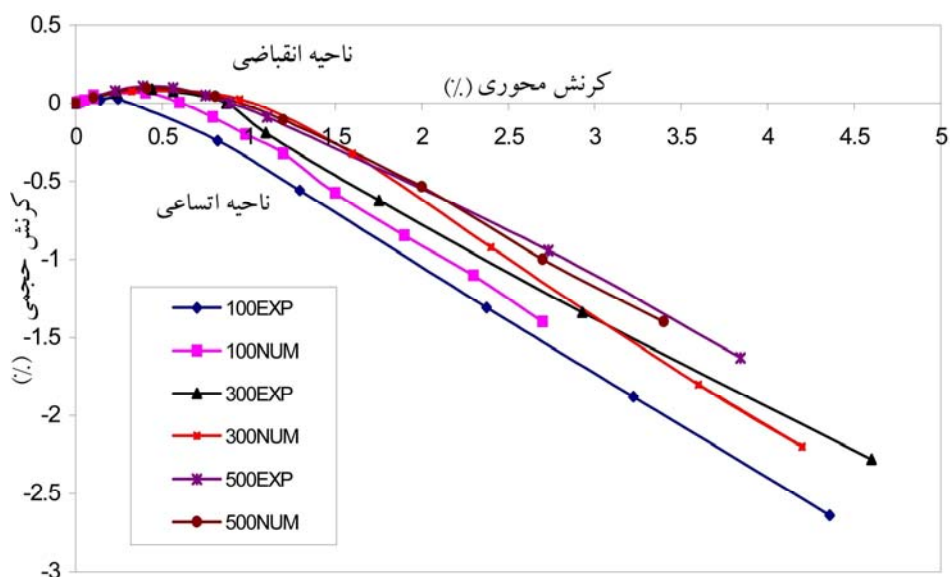


شکل ۳ سطح تسليم مدل رفتاری مورد استفاده در این تحقیق

SAP نیروهای داخلی جدید در المان‌های سازه از جمله در محل تکیه‌گاهها روی پی به دست می‌آید که قطعاً با مقادیر اولیه، متفاوت می‌باشد؛ به خصوص برای ستون‌های نزدیک به گود، این تفاوت بیشتر است. با داشتن این مجموعه بارهای جدید دو مینی لایه ۵۰ سانتی متری خاک برداشته می‌شود که منجر به تغییر مکان‌های PLAXIS در پای ستون‌ها می‌گردد و متعاقب آن برنامه PLAXIS وارد عمل می‌شود. عملیات فوق با برداشت لایه‌های متوالی تا مرحله‌ی خرابی ادامه داده می‌شود. تأکید می‌شود که در هر بار تحلیل با PLAXIS نیروهای مؤثر از سازه به سیستم گود، جدید است. میزان تغییر در نیروهای المان‌های سازه بستگی به هندسه و سختی سازه دارد؛ بدین ترتیب، تأثیر سختی سازه در میدان تغییر مکان زمین ناشی از گودبرداری لحاظ می‌شود. همان‌گونه که در مدل اجزاء محدود شکل (۱) دیده می‌شود و با توجه به آن که خاک ماسه‌ای و بدون چسبندگی است، سرباری ناچیز با میزان 12 کیلو نیوتن بر متر مربع در محدوده چپ سازه با هدف جلوگیری از مشکل عددی اعمال شده است. در کلیه‌ی تحلیل‌ها در فصل مشترک خاک با پی از المان ویژه‌ی فصل مشترک استفاده شده است. در PLAXIS مدل کردن فصل مشترک با اعمال ضرایب کاوش دهنده روی مشخصات مکانیکی مصالح صورت می‌گیرد. در این تحقیق ضریب کاوش دهنده اصطکاک از $0/6$ تا $0/75$ متغیر، در نظر گرفته شده است. در مقابل تحلیل‌های فوق، یک مجموعه تحلیل دیگر بدون تأثیر سختی سازه مجاور انجام گرفت. در این خصوص بارهای وارد در پای ستون‌ها به شالوده (حاصل از اولین تحلیل با برنامه SAP) تا انتهای عملیات گودبرداری ثابت می‌ماند. نتایج حاصل از این دو مجموعه تحلیل را می‌توان در دو قسمت، شامل بررسی اثر سازه‌ی مجاور روی تغییر مکان‌های ایجاد شده در زمین و بررسی اثر گودبرداری روی سیستم سازه‌ی ساختمان مجاور ارائه داد. در خصوص قسمت اول تغییر مکان نقطه‌ی A، پای ستون مجاور گود مطابق شکل (۱) در دو حالت با و بدون در نظر گیری سختی سازه مجاور نسبت به عمق



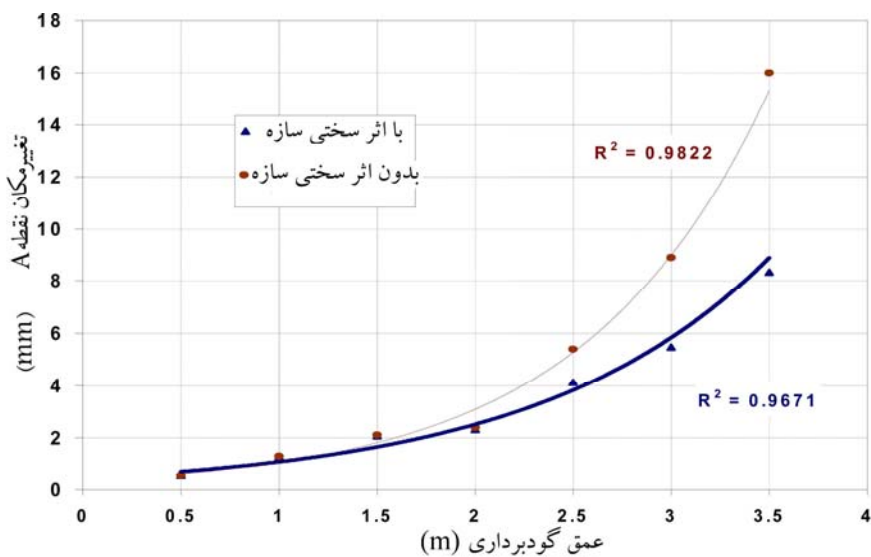
شکل ۴ شبیه سازی آزمایش های سه محوری زه کشی شده برای تعیین پارامترهای مدل رفتاری (نتایج تجربی از مرجع [7] گرفته شده است)



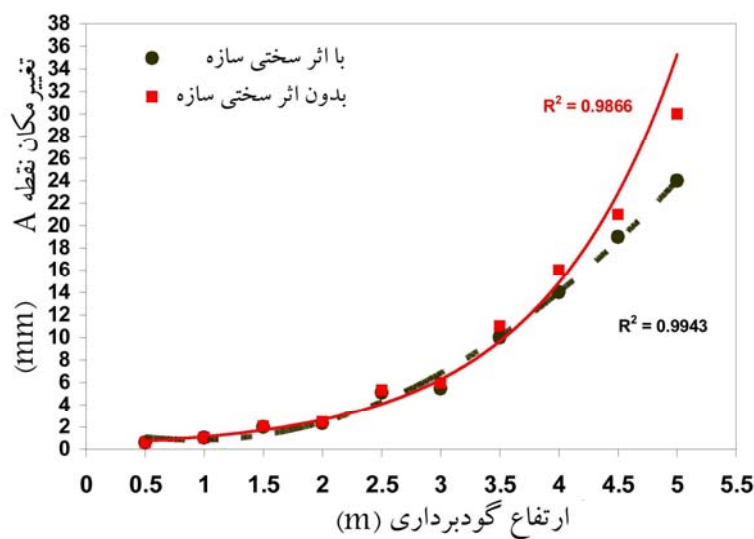
شکل ۵ شبیه سازی آزمایش سه محوری زه کشی شده برای تعیین پارامترهای مدل رفتاری (نتایج تجربی از مرجع [7] گرفته شده است)

جدول ۱ پارامترهای مدل رفتاری خاک

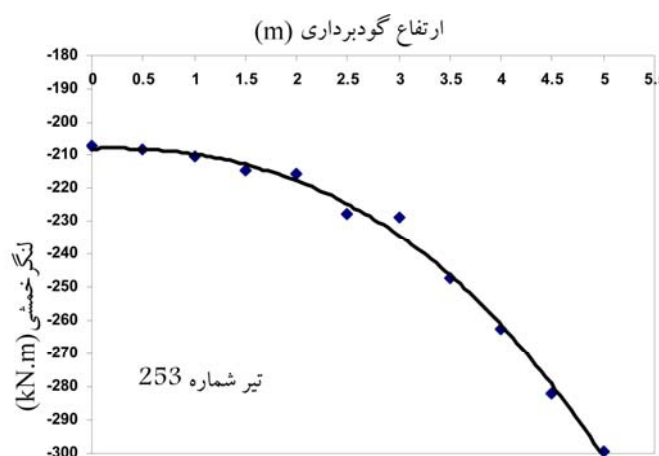
| ν_{ur} | Ψ (°) | ϕ' (°) | c' (kPa) | m | E_{oed}^{ref} (kPa) | E_{ur}^{ref} (kPa) | E_{50}^{ref} (kPa) | γ_d (kN/m³) | نوع خاک |
|------------|---------------|----------------|---------------|------|---------------------------------|--------------------------------|--------------------------------|-----------------------|---------|
| ۰/۲ | ۱۳ | ۳۶ | ۱ | ۰/۵۵ | ۱۱۰۰۰ | ۲۵۰۰۰ | ۹۰۰۰ | ۱۶۰ | (۱) |
| ۰/۲۲ | ۱۳/۵ | ۳۸/۵ | ۱ | ۰/۸ | ۹۰۰۰ | ۲۱۰۰۰ | ۷۰۰۰ | ۱۵۰ | (۲) |



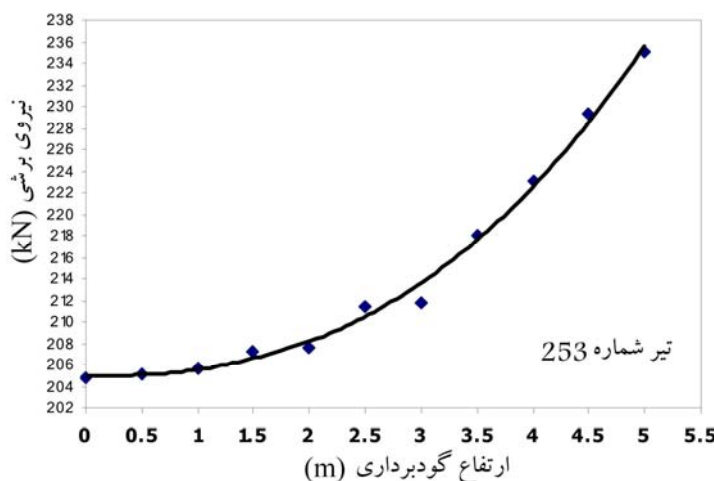
شکل ۶ تغییر مکان نقطه A (شکل (۱)) نسبت به عمق در دو حالت بدون و با در نظر گیری سختی سازه برای خاک شماره ۱



شکل ۷ تغییر مکان نقطه A نسبت به عمق در دو حالت بدون و با در نظر گیری سختی سازه برای خاک شماره ۲



شکل ۸ تأثیر گودبرداری بر لنگر خمثی در تیر ۲۵۳ برای خاک شماره ۲



شکل ۹ تأثیر گودبرداری بر نیروی برشی در تیر ۲۵۳ برای خاک شماره ۲

همیشه امکان پذیر نیست. با مدل کردن سازه‌ی مجاور با یک تیر ارجاعی معادل، به طور نسبتاً ساده‌ای امکان تعریف واقع بینانه از سختی ساختمان را می‌توان فراهم ساخت. این نوع مدل کردن ساختمان، توسط پاتس (Potts) و آدنبروک (Adenbrooke) [9] برای مدل سازی اندرکنش تونل - خاک - سازه‌ی مجاور، مورد استفاده قرار گرفته است. برای این منظور، می‌توان دو سختی خمثی EI و محوری EA را تعریف کرد که در آن، E مدول ارجاعی مصالح سازه‌ای و I ممان اینرسی و A

تحلیل و ارائه‌ی نتایج سیستم گودبرداری با در نظر گیری سازه‌ی مجاور به صورت تیر ارجاعی معادل

گرچه مدل کردن سازه‌ی مجاور از طریق تعریف جزئیات هندسه و بارگذاری سازه، همان گونه که در قسمت قبل انجام گرفت، صحیح‌ترین روند محاسبه اندرکنش گودبرداری و سازه‌ی مجاور است و منجر به نتایج مطلوبی می‌شود، اما انجام چنین عملیاتی مستلزم داشتن اطلاعات مربوط به جزئیات سازه‌ای، هندسه و بارگذاری است که

$$t_{fe} = \sqrt{\frac{12(E_c I)_{struct}}{(E_c A)_{struct}}} \quad (4)$$

برای کرنش صفحه‌ای، L برابر واحد است و خصوصیات المان‌های تیر از روابط زیر به دست می‌آید:

$$E_{fe} = \frac{(E_c A)_{struct}}{t_{fe}} , \quad A_{fe} = t_{fe} , \quad I_{fe} = \frac{t_{fe}^3}{12} \quad (5)$$

به منظور بررسی کاربرد مدل تیر ارجاعی، یک مجموعه تحلیل انجام گرفت. مدل هندسی اجزاء محدود به گونه‌ای انتخاب شده است که در آن عرض ساختمان مجاور ۳۰ متر، فاصله‌ی ساختمان از بر گودبرداری معادل ۱۰ متر، عمق گودبرداری ۱۰ متر، عمق سنتگ بستر ۴۰ متر، عرض گودبرداری ۲۰ متر، عرض کل مدل ۱۵۰ متر، مدفون شدگی سپر ۲/۵ متر، فاصله‌ی مهار تا سطح زمین ۲/۵ متر، خاک شماره ۱ با مقادیر پارامترها مطابق جدول (۲) مصالح سازه‌ای طبق جدول (۳) و مشخصات سختی و وزن ساختمان همسایه مطابق جدول (۴) در نظر گرفته شده است. همان‌گونه که در جدول (۲) دیده می‌شود، مشخصات سختی خاک نسبت به عمق در دو لایه در نظر گرفته شده است. این موضوع به علت وابستگی سختی خاک به وضعیت تنش و این‌که در اعماق پائین تر مقادیر تنش‌های اولیه بیشتر است. ضمن آن که در نظر گرفتن چنین ملاحظه‌ای در بیان واقع بینانه پروفیل نشت سطح زمین ناشی از گودبرداری مؤثر خواهد بود [۱۰]. برای اطلاع از جزئیات بیشتر مدل سازی اجزاء محدود به مرجع [۱۱] مراجعه شود.

در اشکال (۱۱) و (۱۴) (برای سربارهای بدون سختی) با افزایش شدت بارگذاری از ۱۰ تا ۵۰ کیلو پاسکال، حداکثر ۳۰ درصد به نشت سطح زمین و نیروی ایجاد شده در مهارها و ۲۰ درصد به انحراف افقی میانه دیوار افزوده شده است، ولی ناحیه‌ی حداکثر تغییر

سطح مقطع سازه است. مطابق شکل (۱۰) اگر ساختمان را متشکل از m طبقه در نظر بگیریم، در این صورت سقف (با احتساب یک دال معادل برای شالوده) خواهیم داشت. طبق قضیه‌ی محورهای موازی، سختی خمثی تیر عمیق از رابطه‌ی زیر به دست می‌آید:

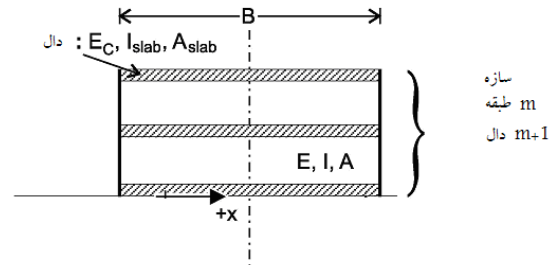
$$(E_c I)_{struct} = E_c \sum_{l=1}^{m+1} (I_{slab} + A_{slab} h_m^2) \quad (1)$$

که در آن h_m فاصله قائم محور تار خنثی تا دال است و:

$$I_{slab} = \frac{t_{slab}^3 L}{12} , \quad A_{slab} = t_{slab} L$$

همچنین سختی محوری عبارت خواهد بود از:

$$(E_c A)_{struct} = (m+1)(E_c A)_{slab} \quad (2)$$



شکل ۱۰ مدل ساختمان مجاور

برای المان تیر مورد استفاده در تحلیل اجزاء محدود کرنش مسطح مدل یانگ E_{fe} ، مساحت A_{fe} و ممان اینرسی مقطع I_{fe} مورد نیاز است. برای تعیین آن‌ها عبارت سختی را می‌توان به صورت زیر تبدیل کرد:

$$(E_c I)_{struct} = \frac{E_{fe} t_{fe}^3 L}{12} , \quad (E_c A)_{struct} = E_{fe} t_{fe} L \quad (3)$$

در این J_{fe} ، t_{fe} ، ضخامت تیر استفاده شده در تحلیل اجزای محدود و L ، بعد عمود بر صفحه‌ی سازه است. مرتب‌سازی معادله (۳) منجر می‌شود به:

تغییر مکان در ناحیه میانی زیر مهار حاصل نشده، بلکه تا حدودی هم افزایش پیدا کرده است. به نظر می‌رسد علت چنین رفتاری، صلیبت تیر (ساختمان) در مقایسه با حالات قبل و نهایتاً انتقال بار به لایه‌های زیرین باشد؛ بنابراین، همان‌گونه که در مدل قبلی مشاهده شد، سختی سازه تأثیر قابل توجهی در میدان تغییر مکان و نیروهای داخلی سیستم مهاربندی دارد. در این روش، تأثیر سختی سازه بر میدان تغییر مکان زمین به نحو مقتضی مدل می‌شود، اما اثرات بر سازه واقعی از طریق میدان تغییر‌شکل تیر عمیق قابل تخمین خواهد بود.

یکی از نتایج حاصل از تحلیل با این روش، شکل تغییر‌شکل یافته‌ی تیر خواهد بود. از این شکل، اطلاعات ارزشمندی قابل برداشت است. برای مثال، می‌توان به خیز حداکثر، خیز نسبی، شیب در هر نقطه از طول تیر اشاره کرد. این اطلاعات با استفاده از تئوری تیر عمیق قابل ارتباط با مؤلفه‌های تانسور کرنش از جمله کرنش کششی و کرنش قطربی در تیر خواهد بود. در قدم بعد بر اساس میزان این کرنش‌ها می‌توان ارزیابی از میزان آسیب سازه‌ی واقعی ارائه داد. از بسط روابط و ارائه‌ی این راهکار به علت حجمی شدن، صرف‌نظر شده است. قطعاً این راهکار می‌تواند به عنوان یک موضوع تحقیقی مورد توجه قرار گیرد.

مکان افقی دیوار از میانه به رأس آن تغییر محل یافته است. با افزایش بیش از ۱۰۰ کیلو پاسکالی، شدت بار شرایط خرابی برای مدل حاصل خواهد شد.

در اشکال (۱۲) و (۱۵) برای سربارهایی با سختی معادل دال تا شدت بارگذاری ۵۰ کیلو پاسکال میزان اختلاف نشست‌ها، نیروی ایجاد شده در مهارها و انحراف دیوار کمتر از ۲۰ درصد خواهد بود و همچنان تغییر مکان افقی حداکثر در میانه دیوار قرار دارد. سرعت افزایش تغییر مکان در ناحیه فوقانی دیوار، بیشتر از انحراف در میانه دیوار است، اما در هیچ‌کدام از تحلیل‌ها انحراف افقی در میانه دیوار کمتر از انحراف افقی ناحیه فوقانی نیست. مقایسه بین دو حالت ساختمان بدون سختی و ساختمان با سختی دال نشان می‌دهد که برای سربار ۱۰۰ کیلو پاسکال حداکثر نشست سطح زمین از ۵۳/۴ میلی متر به ۲۸/۱۲ میلی متر و همچنین نیروی مهار از ۴/۵۰۳ به ۳۵۷ کیلو نیوتون کاهش پیدا کرده است. با اعمال سختی یک ساختمان سه طبقه مطابق اشکال (۱۳) و (۱۶)، مشاهده می‌شود که نشست سطح زمین و نیروی محوری در مهار به طور قابل ملاحظه‌ای کاهش پیدا کرده است. در خصوص تغییر مکان افقی علیرغم کاهش قابل توجه در قسمت بالای مهار، دیده می‌شود که تا سربار ۱۵۰ کیلو نیوتون بر مترمربع نه تنها کاهش در

جدول ۲ پارامترهای مدل رفتاری برای خاک شماره ۱ در دو لایه

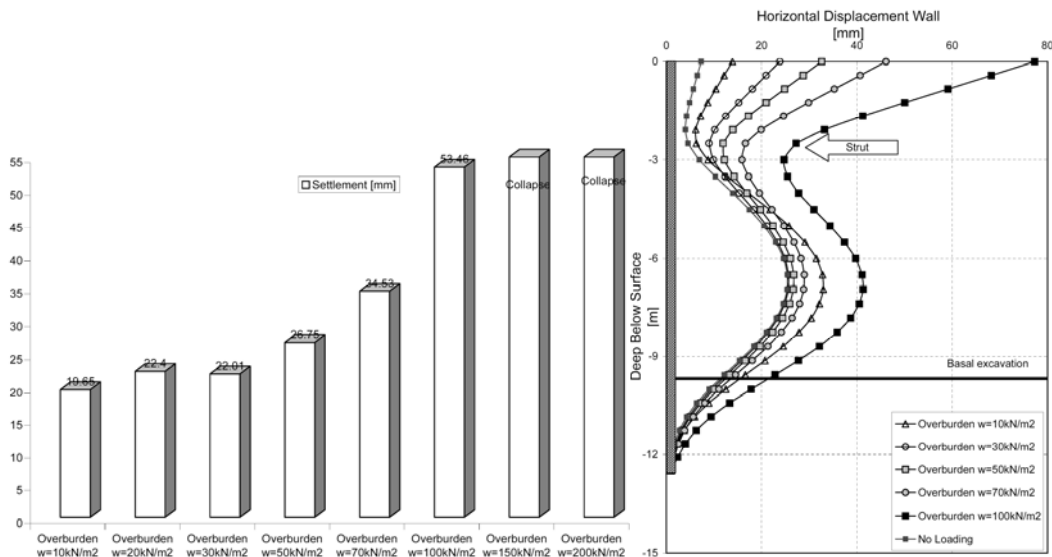
| v_{ur} | Ψ (°) | ϕ' (°) | c' (kPa) | m | E_{oed}^{ref} (kPa) | E_{ur}^{ref} (kPa) | E_{50}^{ref} (kPa) | γ_d (kN/m³) | عمق لایه |
|----------|---------------|----------------|---------------|------|---------------------------------|--------------------------------|--------------------------------|-----------------------|----------|
| ۰/۲ | ۱۳ | ۳۶ | ۱ | ۰/۵۵ | ۱۰۰۰۰ | ۲۵۵۰۰ | ۹۰۰۰ | ۱۷۰ | ۱۵-۰ |
| ۰/۲ | ۱۳ | ۳۶ | ۱ | ۰/۵۵ | ۲۶۰۰۰ | ۶۵۰۰۰ | ۲۳۰۰۰ | ۱۷۰ | ۴۰-۱۵ |

جدول ۳ مشخصات سختی و وزن سازه مجاور

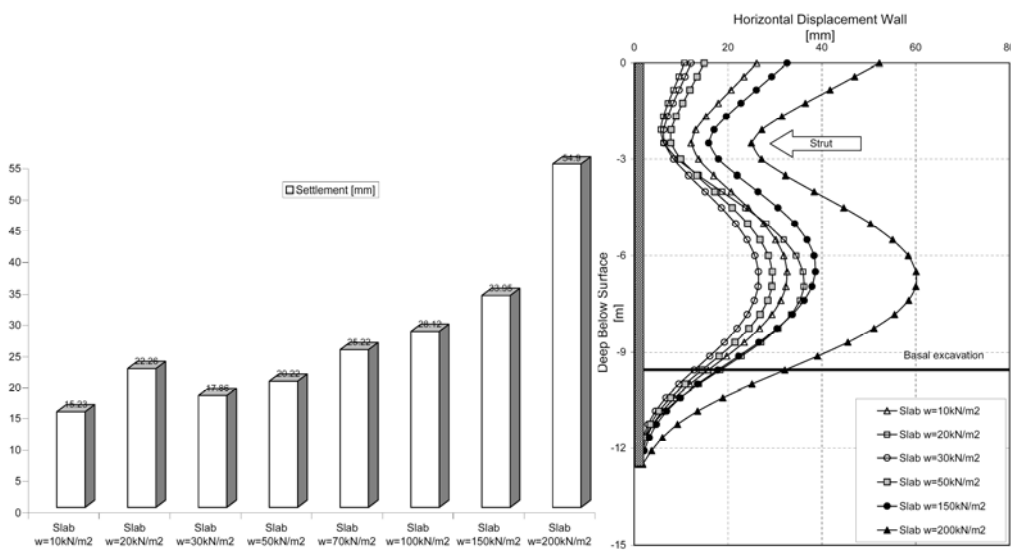
| مشخصات ساختی سازه | | | | | | | | | ردیف |
|--|-----|-----|----|----|----|----|---|---|-----------|
| تنش معادل ناشی از وزن ساختمان | | | | | | | محوری (EA) _{struct} [kN/m] | الخمشی (EI) _{struct} [kNm ² /m] | |
| - | - | ۱۰۰ | ۷۰ | ۵۰ | ۳۰ | ۲۰ | ۱۰ | - | بدون سختی |
| ۲۰۰ | ۱۵۰ | ۱۰۰ | ۷۰ | ۵۰ | ۳۰ | ۲۰ | ۱۰ | $۲/۴۵*10^6$ | دال |
| ۲۰۰ | ۱۵۰ | ۱۰۰ | ۷۰ | ۵۰ | ۳۰ | ۲۰ | ۱۰ | $۷/۹۰*10^6$ | یک طبقه |
| ۲۰۰ | ۱۵۰ | ۱۰۰ | ۷۰ | ۵۰ | ۳۰ | ۲۰ | ۱۰ | $۱/۳۸*10^7$ | سه طبقه |
| ضریب پواسون مربوط به المان تیر (در مدل ساختمان و دیوار) برابر $۱/۱۵$ در نظر گرفته شده است. | | | | | | | | | |

جدول ۴ مشخصات المان‌های سازه‌ای به کار گرفته شده در تحلیل‌ها

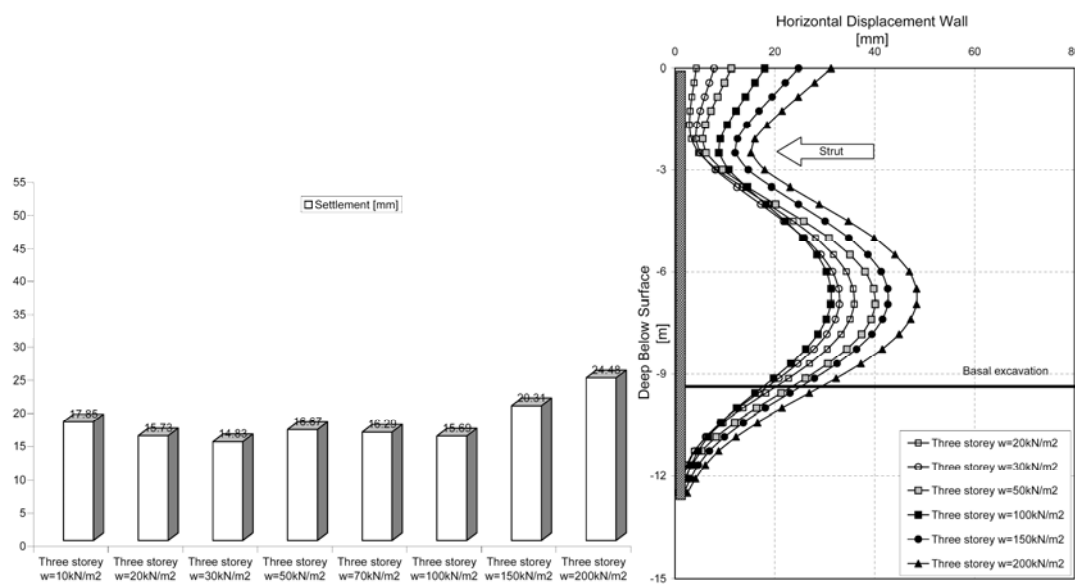
| عضو مهاری IPB220 | دیوار IPB220 | سختی |
|---------------------|-----------------|-------------------------------------|
| ۱۹۱۰۰۰ | ۱۹۱۰۰۰ | EA (MN/m) |
| - | ۱۶۹۹۱ | EI خمشی (MNm ² /m) |



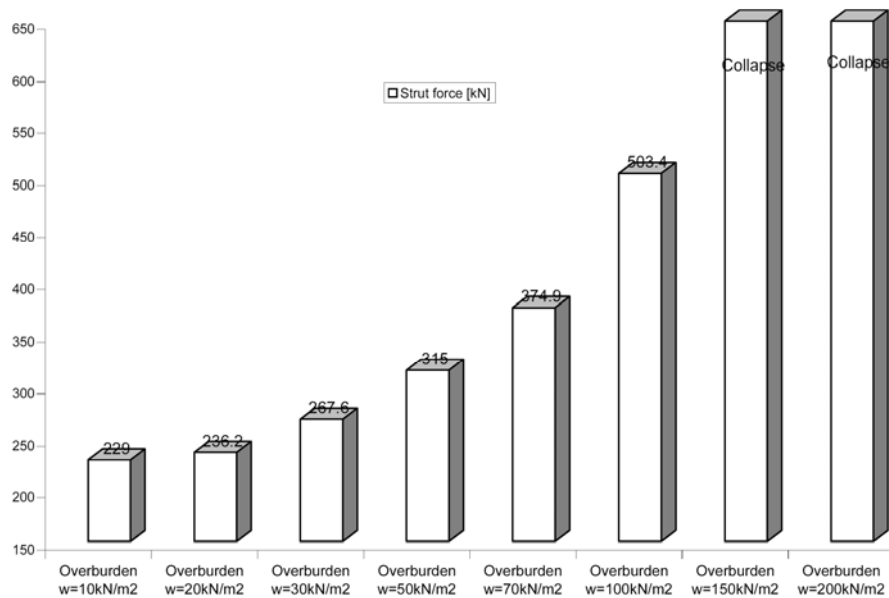
شکل ۱۱ انحراف دیوار و نشست حداقل سطح زمین در اثر اعمال شدت بارهای مختلف بدون در نظر گیری سختی سازه مجاور



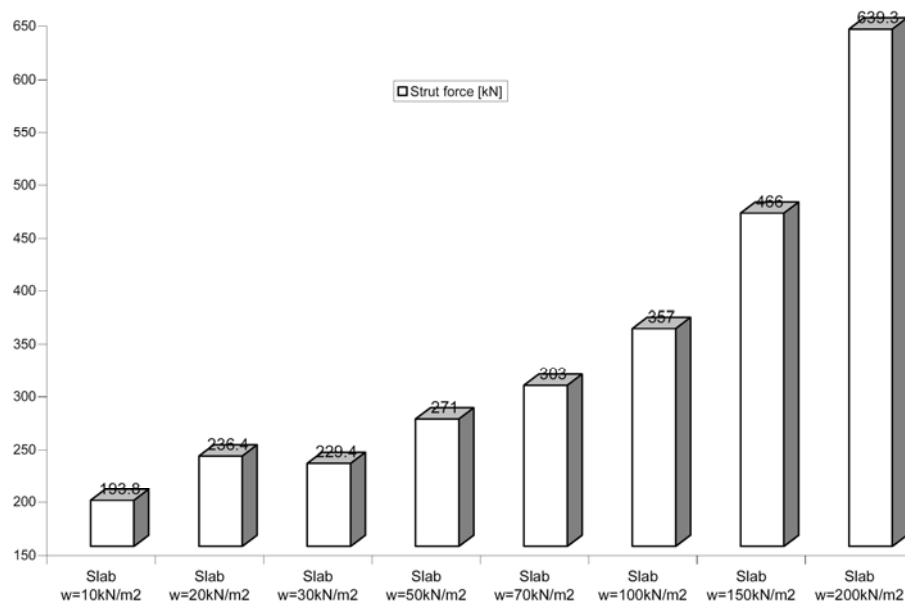
شکل ۱۲ انحراف دیوار و نشست حداکثر سطح زمین در اثر اعمال شدت بارهای مختلف با سختی سازه های مجاور برابر سختی دال



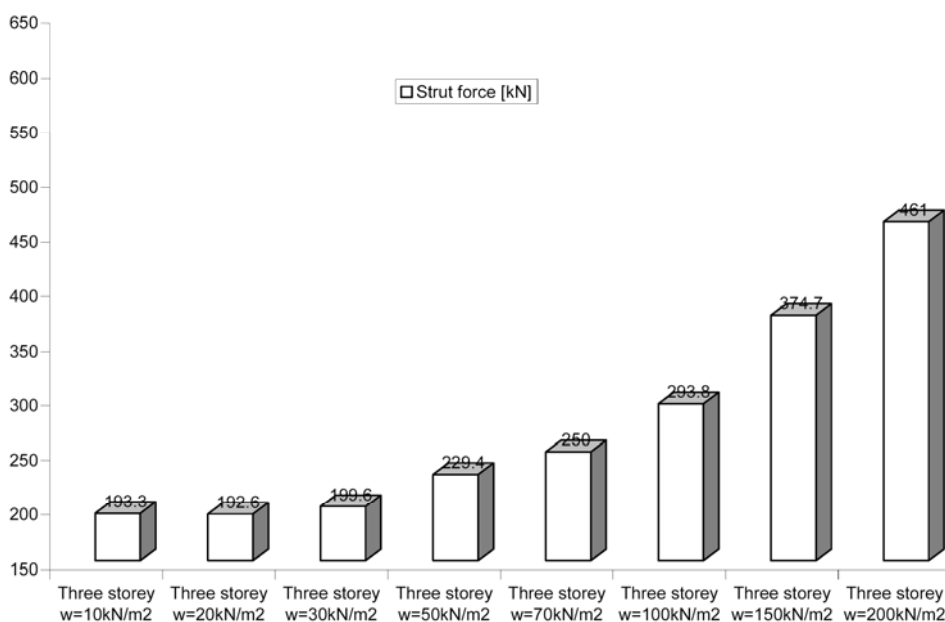
شکل ۱۳ انحراف دیوار و نشست حداکثر سطح زمین در اثر اعمال شدت بارهای مختلف با سختی ساختمان سه طبقه



شکل ۱۴ نیروی مهار تابعی از شدت بار واردہ ناشی از ساختمان بدون سختی



شکل ۱۵ نیروی مهار تابعی از شدت بار واردہ ناشی از ساختمان با سختی دال



شکل ۱۶ نیروی مهار تابعی از شدت بار واردہ ناشی از ساختمن با سختی ساختمن سه طبقه

و کاهش نیروهای داخلی سیستم مهاربند گود می‌شود. نتایج حاصله از این تحقیق، نشان می‌دهند که سختی سازه موجب می‌شود تغییرمکان‌های افقی حداکثر در نواحی پائین دیواره گود اتفاق بیافتد؛ در صورتی که در حالت بدون درنظرگیری سختی تغییرمکان‌های افقی، حداکثر در نزدیکی سطح زمین است.

۲- تحلیل با مدل ساختمن به صورت تیر ارجاعی معادل و تحلیل با اعمال جزئیات سازه‌ای نتایج نسبتاً مشابهی در کترل تغییر مکان زمین ناشی از گود برداری در اختیار قرار می‌دهند.

۳- گرچه مدل کردن ساختمن مجاور به صورت تیر در خصوص تأثیر سختی سازه بر میدان تغییر مکان زمین و نیروهای داخلی سیستم مهاربند نتایج واقع بینانه ای به دست می‌دهد، اما برای تأثیر گودبرداری بر

نتیجه گیری

اندرکنش گودبرداری و سازه‌ی مجاور آن به عنوان یکی از عوامل مؤثر در تحلیل عددی گودبرداری‌های مهاربندی شده، نقش ایفا می‌کند. مطالعه‌ی حاضر به بررسی تأثیر سختی ساختمن مجاور، که این سختی در مدل تیر معادل شامل سختی‌های خمشی (EI) و محوری (EA) مربوط به این تیر است و در مدل واقعی سازه سختی مرتبط با بارهای بهره برداری (بار مرده باضافه زنده) و تغییرمکان قائم پای ستون‌ها است، گودبرداری بر میدان تغییر مکان زمین و تأثیر گودبرداری بر نیروهای داخلی سازه این ساختمن پرداخته است. با توجه به تحلیل‌های انجام شده، نتایج زیر حاصل گردیده است:

- اعمال سختی سازه‌ی مجاور در تحلیل عددی سیستم گودبرداری تأثیر قابل ملاحظه‌ای دارد. در بسیاری از حالات، این تأثیر منجر به کاهش تغییر مکان‌های افقی

است اندرکنش گودبرداری و سازه مجاور آن بنحو مطلوبی در طرح و محاسبه مدنظر قرار گیرد.
۵- مدل کردن سازه‌ی مجاور به صورت تیر معادل، گرچه از نظر میدان تغییرمکان زمین و سازه‌ی نگهبان نتایج مناسبی در اختیار قرار می‌دهد، ولی ارتباط میدان تغییرشکل تیر معادل به تغییرشکل‌های سازه واقعی نیازمند یک مجموعه مطالعات و محاسبات بوده که می‌تواند به عنوان توسعه کار حاضر مدنظر قرار گیرد.

نیروهای داخلی سازه، نیاز تحلیل عددی با در نظر گیری جزئیات سازه‌ای است.
۴- امروزه کدهای محاسباتی اجزاء محدود با توجه به کامپیوتراهای بزرگ حافظه و سریع از یک طرف و مدل‌های رفتاری مناسب از طرف دیگر، امکان تحلیل عددی سازه‌های ژئوتکنیکی را با در نظر گرفتن هندسه و شرایط مرزی پیچیده و اعمال روش‌های اجرائی، در اختیار مهندسین طراح قرار داده است؛ لذا در خصوص گودبرداری‌ها در محیط‌های شهری لازم

مراجع

1. Clough, G. W., and O'Rourke, T. D., Construction induced movements of in-situ walls, Proc., ASCE Conf. on Des. and Perf. of Earth Retaining Struct. Geotech. Spec. Publ. No. 25, ASCE, New York, 439-470,(1990).
2. Seok, J.W., Kim, O.Y., Chung, C.K., and Kim, M.M., *Evaluation of ground and building settlement near braced excavation sites model testing*, Canadian Geotechnical Journal, October 2001, Vol. 38, No. 11, pp. 1127-1133, (2001).
3. Ou, C. Y., Hsieh, P. G., & Chiou, D. C., Characteristics of ground surface settlement during excavation, Can. Geotech. J. Vol. 30, No. 5, pp. 758-767, (1993).
4. Boscardin, M. D., & Cording, E. G., Building response to excavation induced settlement, *J. Geotech. Eng. Div.*, ASCE, Vol. 115, No. 1, pp. (1989).
5. Finno, R. J., Calvello, M., & Bryson, S. L., Analysis and performance of excavation for the Chicago-State subway renovation project and its effect on adjacent structures, Technical Report of U.S. Department of Transportation Research and Special Programs Administration, (2002).
6. Manual PLAXIS, Finite element code for soil and rock plasticity, Delft University of Technology, Netherlands.
7. Rahma, A., 1991, Modelisation probabilist des paramètres de lois elasto-plastiques (modèle cyclade), These de Doctorat, Ecole Centrale Paris, Laboratoire de Mécanique Sols, Structures et Matériaux.
- ۸ بائی؛ بهادر، تحلیل عددی حرکت زمین ناشی از گودبرداری در محیط‌های شهری و بررسی عملکرد روش‌های مهاربندی رایج در کشور، پایان‌نامه‌ی کارشناسی ارشد، مکانیک خاک و پی، گروه عمران دانشکده فنی دانشگاه بوقعلی سینا، (۱۳۸۲).

9. Potts, D.M. & Adenbrooke, T. I., A structures influence on tunnelling-induced ground movements, Proc. Instan. Civ. Engrs., Geotech. Engineering, 125, pp:109-125, (1997).

10. Long M., Database for retaining wall and ground movements due to deep excavation, *J. Geotech. Geoenviron. Eng.*, ASCE, Vol. 127, No. 3, pp. 203-224, (2001).

۱۱. بیتی؛ م، تعیین روابط کاربردی در طرح و محاسبه گودبرداری‌ها در محیط‌های شهری، پایان‌نامه‌ی کارشناسی ارشد گرایش مکانیک خاک و پی، گروه عمران دانشکده فنی، دانشگاه بوعلی سینا، (۱۳۸۴).